

的目标。

压裂规模决定了改造体积,前期由于酸液成本高,导致用液规模较低,均低于 $1 \times 10^4 \text{ m}^3$,改造

体积较小^[15]。从 ST2X 井和 ST3 井的微地震事件可以看出裂缝波及体积较小,ST3 井第一段泵注液体 575 m^3 ,SRV 仅为 $34.8 \times 10^4 \text{ m}^3$ (见图 4)。

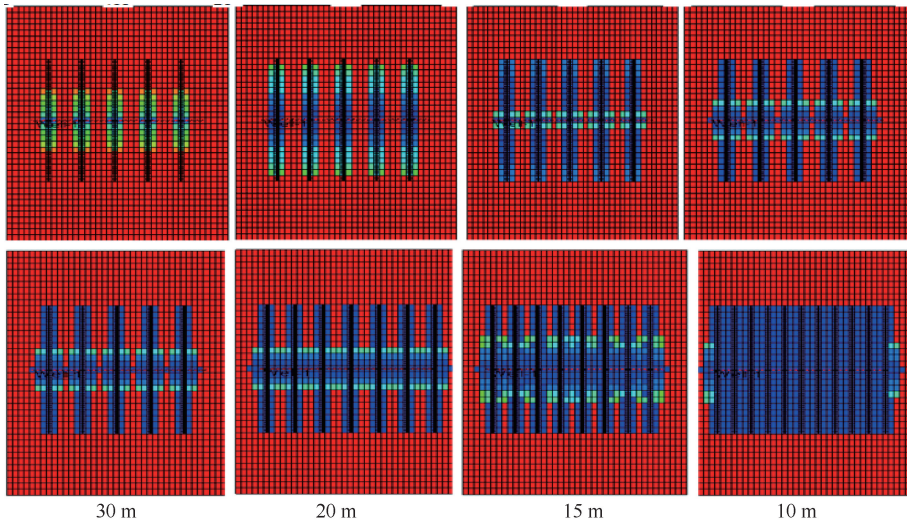


图 3 低流度高启动压力梯度储层不同间距生产情况

Fig. 3 Low mobility and high starting pressure gradient reservoir production at different intervals

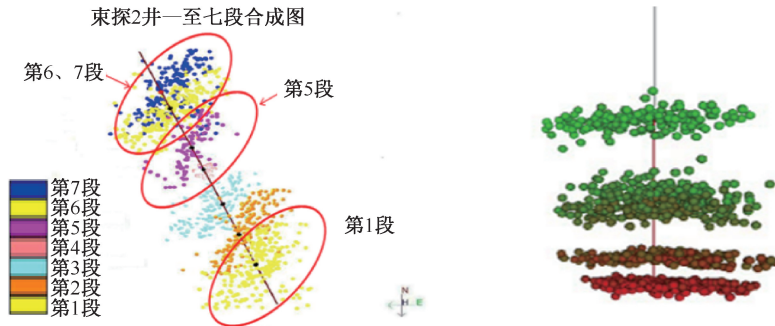


图 4 ST2 井微地震特征和束探 3 井微地震特征

Fig. 4 Micro-seismic characteristics of well ST2 and well Shutan 3

3 SY302X 井基本情况

SY302X 井采用三开完井(见表 1),油层套管的钢级为 Q125V,壁厚为 12.7 mm,套管承压为抗内压

110.7 MPa,满足大排量、大规模改造要求。地质导向情况:水平井段 4 231~5 391 m,段长 1 160 m,目的层箱体钻遇率 100%,储层(1 109 m)钻遇率 95.60%。

表 1 SY302X 井钻头及套管程序数据表

Table 1 SY302X bit and casing program data sheet

开次	开钻日期	钻头程序	套管程序
导管	2022-07-16	Φ660.00 mm×37.00 m	Φ508.00 mm×37.00 m
一开	2022-07-25	Φ444.5 mm×659.00 m	Φ339.70 mm×658.35 m
二开	2022-07-31	Φ311.2 mm×3 549.00 m	Φ244.5 mm×3 548.34 m
三开	2022-08-26	Φ215.9 mm×5 391.00 m	

本井油气显示集中在沙三下段,全井解释 1 048 m/127 层,油层 130 m/25 层,油水同层 18 m/4 层,差油层 697 m/59 层,含油水层 10 m/2 层,水层 5 m/1 层,干层 188 m/36 层。4 231 m 着陆,着陆后共解释 680 m/43 层,油层 49 m/4 层,差油层 567 m/28 层,干层 64 m/11 层。

测井共解释 1 424.0 m/70 层,其中Ⅱ类储层:405.6 m/23 层,Ⅲ类储层:1 018.4 m/47 层,本井水平段为主要含油气层段。

前期试油效果看,主力油气全烃峰型呈块状或多尖峰状显示,峰型呈块状表明油气储集饱满且孔隙较发育,峰型呈尖峰状表明油气储集欠饱满且裂

实现单点压裂施工,彻底改善多簇合压导致的改造不均匀,大幅度提高压裂改造的针对性和有效性,

实现“人造渗透率”,提高储层整体渗流能力,提高改造效果(见图 6)。

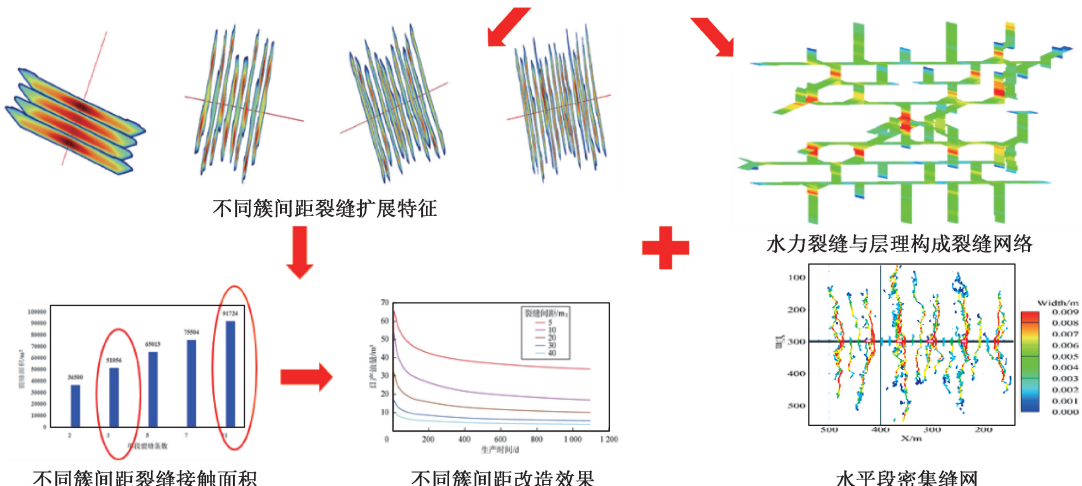


图 6 复杂裂缝
Fig. 6 Complex cracks

技术对策二:通过配套承压等级更高的井口、地面管汇,提高本井施工限压,为施工排量提升创造条件,同时在裂缝起裂困难的情况下,采用酸处理,降低地层破裂压力。

技术对策三:采用提高施工排量、小粒径、中低砂比,变黏滑溜水体系相结合的方式,降低施工难度,提高施工成功率。初期:小粒径+低砂比+低黏滑溜水+大排量注入;中期:小粒径+中砂比+中黏滑溜水+大排量注入;后期:中小粒径+中高砂比+高黏滑溜水+大排量注入(见图 7)。

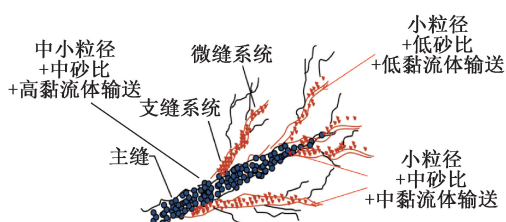


图 7 排量、支撑剂粒径和液体粘度结合形成不同施工阶段

Fig. 7 Displacement, proppant particle size and liquid viscosity combine to form different construction stages

技术对策四:通过套管滑套精细分层,针对各层段的岩性、物性、裂缝发育程度采用“一段一策”的改造方式,提高改造针对性。

4.3 分段压裂工具优选

本井选用无限极套管滑套为主体分段工艺。由压裂滑套和螺卡系统构成,压裂滑套(外径 165 mm,内径 109.6 mm,长度 1.16 m),分段数不受限制,可实现不停泵连续单段压裂作业施工,减少射孔程序时间和风险。

4.4 压裂液及支撑剂优选

本区块加砂难度较大,同时复杂缝下需要支撑剂粒径与裂缝开度匹配,更好地实现分支缝和裂缝端部的支撑,因此,采用 70/140 目+40/70 目两种粒径组合模式,保证主缝充分充填的基础上,最大程度提高支缝的铺置程度和长期有效性。其中 70/140 目选用石英砂,40/70 目选用石英砂+陶粒组合,其中陶粒选用 69 MPa 等级陶粒,就能够满足需求。通过提高石英砂量,弥补强度不足,按 1.5 倍加量替代。

结合本井防膨实验和本井降阻和携砂的需求,初步确定免配压裂液主体配方:

低黏压裂液配方:0.1%~0.2% 降阻剂+0.1%破乳助排剂+0.5% 黏土稳定剂,主要实现 10% 以内的支撑剂携砂。

中黏压裂液配方:0.3%~0.4% 降阻剂+0.1%破乳助排剂+0.5% 黏土稳定剂,初始黏度 45 mPa·s,剪切 30 min 降到 20 mPa·s 内,在高排量下满足 10%~20% 支撑剂携砂。

高黏滑溜水:0.6%~1.0% 降阻剂+0.1% 破乳助排剂+0.5% 黏土稳定剂,在较低排量下满足不同砂比携砂液的加砂要求。

4.5 压裂工艺

高角度裂缝发育页岩储层,以提高裂缝复杂度和有效改造体积为目标;采用控近扩远技术模式,降低砂堵风险:初期变排量注入结合前置小粒径段塞控制天然裂缝开启条数,降低近井复杂,控制缝

高过度延伸;中期采用大排量注入,提高缝内净压力,提高裂缝复杂度,结合段塞实现缝网支撑。后

期采用大排量高黏滑溜水连续携砂,实现支缝高效支撑(见图8)。

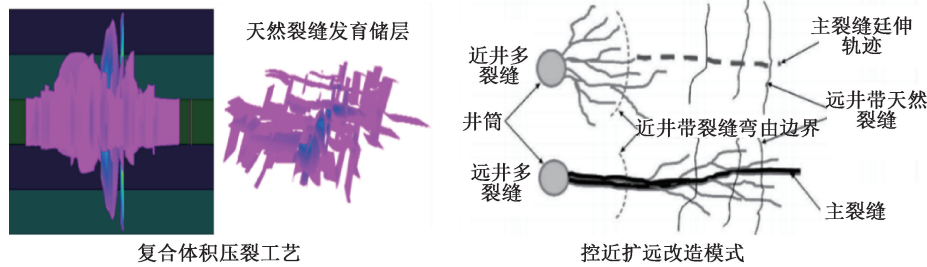


图 8 施工工艺优化
Fig. 8 Optimization of construction technology

水平层理缝(纹层)发育页岩油(见图9),层理和天然裂缝对裂缝形态影响大,层理限制缝高扩展:层理发育岩样:高排量高净压力裂缝穿过层理,低排量

低净压力裂缝被层理限制;层理和天然裂缝均发育岩样:水力裂缝沟通天然裂缝,被层理缝限制,裂缝形态更为复杂,但缝高延伸受限。

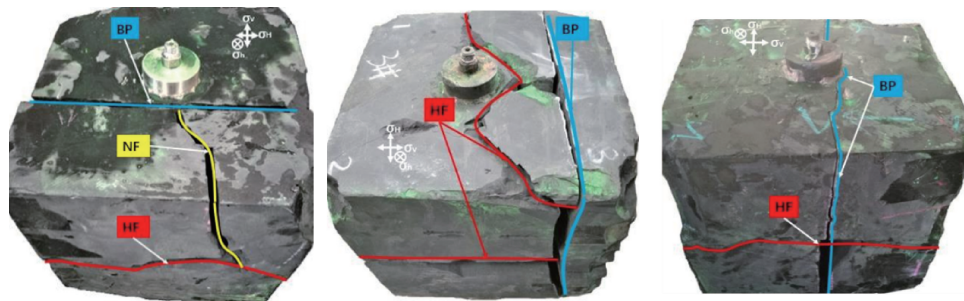


图 9 层理发育泥灰岩裂缝扩展
Fig. 9 The bedding developed marl crack propagation

针对层理较发育的泥灰岩储层(见图10),以突破层理,实现改造体积最大化为目标,采用逆混合工艺实施:初期利用高黏滑溜水大排量注入,提高初始阶段裂缝纵向的扩展能力;中期利用低黏滑溜水大排量注入,激活层理和天然裂缝,提高裂缝复杂度;后期利用高黏滑溜水大排量连续携砂支撑主缝,提高主缝导流能力(见图11)。

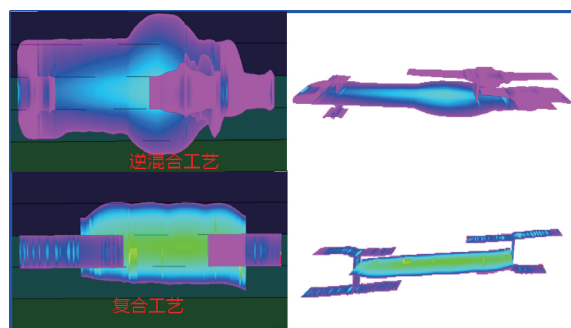


图 10 层理发育储层
Fig. 10 Bedding develops reservoirs

5 SY302X 井施工情况

SY302X 井施工经过了打开趾段滑套、压裂阶

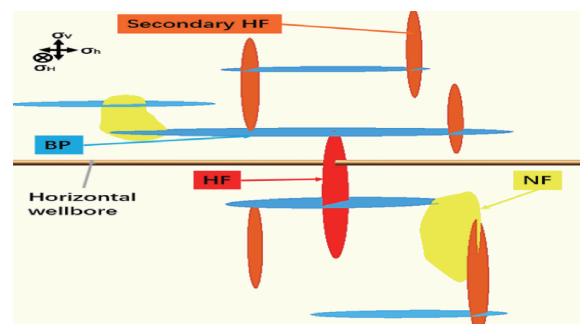


图 11 改造体积最大化
Fig. 11 The volume of the transformation is maximized
段,压裂过程中螺卡定位准确。

5.1 SY302X 井趾段滑套打开情况

束页302X井井口升压至71.8 MPa时打开趾端滑套被打开,泵注清水85.6 m³,泵压44.5~87.5 MPa,打开趾段滑套后建立排量。

5.2 SY302X 井压裂情况

本井共进行26段压裂,累计泵注液量2.41×10⁴ m³,累计加砂965.6 m³,每段最高施工压力均超过90 MPa,施工最高压力100.81 MPa,施工排量7~11 m³/min。

5.3 SY302X 井螺卡定位监测情况

螺卡定位监测系统是一种压力声学检测装置,螺卡泵入井筒后,可以根据噪声和压力信号变化判断螺卡在井筒中的位置。

5.4 SY302X 井裂缝监测情况

对本井进行裂缝监测(见图 12),合计 srv 体积 $553.35 \times 10^4 \text{ m}^3$ 。

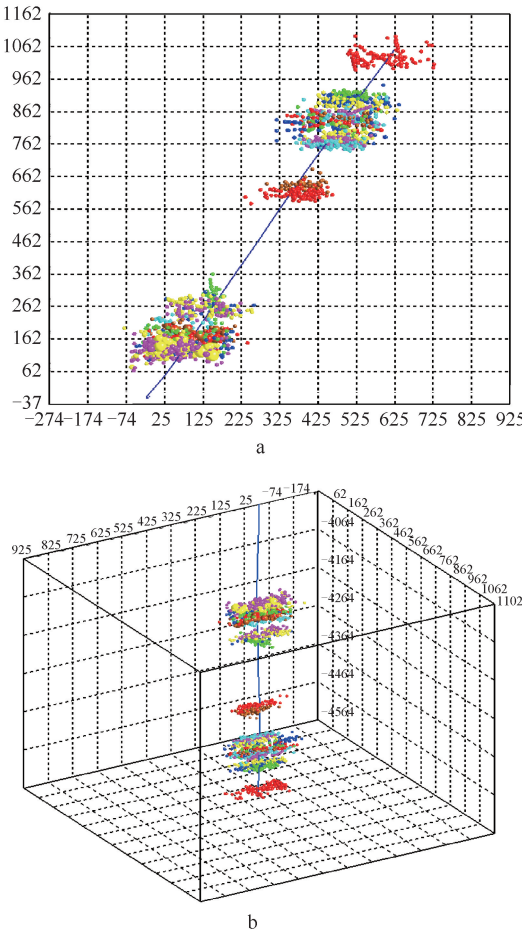


图 12 整体监测成果

Fig. 12 Overall monitoring results

6 结论

(1) 施工时效上,从送螺卡至施工结束停泵,每段的施工时间 2 h 左右;理论上,早 8 点~18 点最高可连续施工 5 段,施工时效大幅度提高。

(2) 从精准压裂的角度分析,无限级滑套压裂工艺相比常规套管桥塞射孔工艺,可实现单个射孔簇精准压裂,提高密切割压裂裂缝起裂效率,及改造效果。

(3) 施工难易程度受储层地质条件影响较大,地质显示较好的储层,反映在压裂施工方面,施工压力更低,改造体积更大。

致谢:感谢李琳琳等在论文修改、压后评价方面做出的贡献。

参考文献

- [1] 邢玉洁. 渤海湾盆地与北美典型盆地页岩油形成条件对比研究[D]. 中国石油大学(北京), 2017.
XING Yujie. Comparative study on shale oil formation conditions in Bohai bay basin and North American typical basins[D]. China University of Petroleum (Beijing), 2017.
- [2] 李志明, 芮晓庆, 黎茂稳, 等. 北美典型混合页岩油系统特征及其启示[J]. 吉林大学学报(地球科学版), 2015, 45(4): 1060-1072.
LI Zhiming, RUI Xiaoqing, LI Maowen, et al. Characteristics of typical hybrid shale-oil system in North America and its implications[J]. Journal of Jilin University (Earth Science Edition), 2015, 45(4): 1060-1072.
- [3] 陈作, 刘红磊, 李英杰, 等. 国内外页岩油储层改造技术现状及发展建议[J]. 石油钻探技术, 2021, 49(4): 1-7.
CHEN Zuo, LIU Honglei, LI Yingjie, et al. The current status and development suggestions for shale oil reservoir stimulation at home and abroad [J]. Petroleum Drilling Techniques, 2021, 49(4): 1-7.
- [4] 陈志海. 北美非常规油气开发主要特征、面临挑战与对策[C]//西安石油大学, 陕西省石油学会. 2019 油气田勘探与开发国际会议论文集, 2019: 829-830.
CHEN Zihai. Main characteristics, challenges and countermeasures of unconventional oil and gas development in North America [C]//Xi'an Shiyou University, Shaanxi Petroleum Society. Proceedings of the 2019 International Conference on Oil and Gas Field Exploration and Development, 2019: 829-830.
- [5] 刘羽汐, 白斌, 曹健志, 等. 海陆相页岩型页岩油地质特征的差异与甜点评价——以北美二叠盆地 Wolfcamp D 页岩油与松辽盆地古龙页岩油为例[J]. 中国石油勘探, 2023, 28(4): 55-65.
LIU Yuxi, BAI Bin, CAO Jianzhi, et al. Differences in geological characteristics and sweet spots evaluation of marine and continental shale oil: a comparative case study between Wolfcamp D shale oil in Permian Basin in north America and Gulang shale oil in Songliao Basin [J]. China Petroleum Exploration, 2023, 28(4): 55-65.
- [6] 吕传炳, 庞雄奇, 马奎友, 等. 渤海湾盆地束鹿凹陷“牙刷状”油藏成藏特征与模式[J]. 石油与天然气地质, 2022, 43(3): 566-581.
LYU Chuanbing, PANG Xiongqi, MA Kuiyou, et al. Characteristics and reservoir patterns of “teeth-brush-shaped” oil pools in the Shulu Sag, Bohai Bay Basin [J]. Oil & Gas Geology, 2022, 43(3): 566-581.
- [7] 付君豪, 陈再贺, 付宪, 等. 利用随机森林算法预测束鹿凹陷束 21 井区馆陶组储层砂地比[J/OL]. 大庆石油地质与开发, 2023, (4): 1-8.

- FU Junhao, CHEN Zaihe, FU Xian, et al. Prediction of sand-to-ground ratio of Guantao Formation of Shulu Sag 21 Well District by random forest algorithm [J/OL]. Petroleum Geology and Development in Daqing, 2023, (4): 1-8.
- [8] 曹晓峰,陈朝兵,李静,等.碳酸盐质砾岩致密油成藏主控因素研究——以束鹿凹陷沙河街组沙三下亚段砾岩储层为例[J].西北地质,2021,54(2):187-202.
- CAO Xiaofeng, CHEN Chaobing, LI Jing, et al. Study on the main controlling factors of tight oil accumulation in carbonate conglomerate-taking the conglomerate reservoir of the lower 3rd member of Shahejie formation in Shulu Sagas example [J]. Northwest Geology, 2021, 54(2): 187-202.
- [9] 张锐锋,陈柯童,朱洁琼,等.渤海湾盆地冀中坳陷束鹿凹陷中深层湖相碳酸盐岩致密储层天然气成藏条件与资源潜力[J].天然气地球科学,2021,32(5):623-632.
- ZHANG Ruifeng, CHEN Ketong, ZHU Jieqiong, et al. Tight gas reservoir forming condition and resource potential in the lacustrine carbonate in the middle-deep layer of Shulu Sag of Jizhong Depression, Bohai Bay Basin [J]. Natural Gas Geoscience, 2021, 32(5): 623-632.
- [10] 刘哲,鱼占文,吕延防,等.束鹿凹陷沙三下亚段致密泥灰岩储层特征与含油性[J].广东石油化工学院学报,2020,30(4):1-4.
- LIU Zhe, YU Zhanwen, LYU Yanfang, et al. Characteristics and oil content of tight oil marlreservoirs in Es^{3L} of Shulu sag [J]. Journal of Guangdong University of Petrochemical Technology, 2020, 30(4): 1-4.
- [11] 陈朝兵,宗超伦,焦立芳,等.束鹿凹陷西斜坡油藏分布规律及成藏模式[J].石油地质与工程,2020,34(4):1-6.
- CHEN Chaobing, ZONG Chaolun, JIAO Lifang, et al. Reservoir distribution regularity and accumulation patterns of western slope in Shulu sag [J]. Petroleum Geology and Engineering, 2020, 34(4): 1-6.
- [12] 张明扬,姜维寨,孟庆峰,等.冀中束鹿西斜坡潜山油水界面判识技术[J].录井工程,2020,31(2):91-96.
- ZHANG Mingyang, JIANG Weizhai, MENG Qingfeng et al. Identification technique of oil-water interface of buried hill in the west slope of Shulu sag, Jizhong [J]. Mud Logging Engineering, 2020, 31(2): 91-96.
- [13] 周磊,卢双舫,吴建平,等.束鹿凹陷沙三下亚段致密油储层特征及有利目标区预测[J].地质论评,2020,66(S1):123-125.
- ZHOU Lei, LU Shuangfang, WU Jianping. Characteristics of tight-oil reservoir and accumulation area prediction in Lower part of the 3rd Shahejie Formation of Shulu sag [J]. Geological Review, 2020, 66 (S1) : 123-125.
- [14] 朱洁琼,张以明,黄远鑫,等.冀中坳陷束鹿凹陷潜山多样性油气成藏特征[J].中国石油勘探,2019,24(6):791-798.
- ZHU Jieqiong, ZHANG Yiming, HUANG Yuanxin, et al. The hydrocarbon accumulation characteristics of diverse buried hills in the Shulu sag, Jizhong depression [J]. China Petroleum Exploration, 2019, 24 (6) : 791-798.
- [15] 祇淑华,洪晶,吕鹏,等.束鹿凹陷致密油储层可压裂性评价方法[J].测井技术,2019,43(5):536-541.
- DI Shuhua, HONG Jing, LYU Peng, et al. Method for fracturability evaluation of tight oil reservoirs in the Shulu sag [J]. Well Logging Technology, 2019, 43 (5) : 536 -541.
- [16] 江涛,杨德相,吴健平,等.渤海湾盆地冀中坳陷束鹿凹陷古近系沙三段下亚段致密油“甜点”主控因素与发育模式[J].天然气地球科学,2019,30(8):1199-1211.
- JIANG Tao, YANG Dexiang, WU Jianping, et al. controlling factors and patterns of tighe oil sweet spots in paleogene lower Es3 of Shulu sag of Jizhong depression, Bohai bay basin [J]. Natural Gas Geoscience, 2019, 30 (8) : 1199 -1211.
- [17] 赵政嘉.华北油田束鹿凹陷泥灰-砾岩油藏酸压技术研究与应用[D].中国石油大学(华东),2019.
- ZHAO Zhengjia. Research and application of acid compression technology in Shulu sag marl-conglomerate reservoir in North China Oilfield [D]. China University of Petroleum (East China) ,2019.
- [18] 王嵩.华北束鹿凹陷致密油地球化学特征及其成因研究[D].浙江大学,2017.
- WANG Song. Geochemical characteristics and causes of tight oil in Shulu sag in North China [D]. Zhejiang University, 2017.

编辑 穆立婷

第一作者简介:吴刚,男,1971年出生,高级工程师,1993年毕业于西南石油学院测井专业,现主要从事钻完井、录测井、石油压裂等工作。电话:0317-2721631;Email:kth_wugang@petrochina.com.cn。通信地址:河北省沧州市任丘市渤海路街道会战南道5号,邮政编码:062552。